

13/9/11

Одобрено кафедрой  
«Локомотивы и локомотивное  
хозяйство»

# ОСНОВЫ ИНЖЕНЕРНОЙ И НАУЧНОЙ РАБОТЫ

Руководство к выполнению лабораторных работ  
для студентов IV курса

специальности

150700 ЛОКОМОТИВЫ (Т)

специализации

150702 УПРАВЛЕНИЕ ТЕХНИЧЕСКОЙ ЭКСПЛУАТАЦИЕЙ  
ЛОКОМОТИВОВ



Москва – 2005

Составители: канд. техн. наук, доц. М.А. Ибрагимов,  
канд. техн. наук, доц. В.Д. Шаров

Рецензент — канд. техн. наук, доц. А.В. Скалин

## **СОДЕРЖАНИЕ**

Введение .....	4
Лабораторная работа № 1. Моделирование изменения технического состояния объектов эксплуатации и прогнозирование их надежности .....	5
Лабораторная работа № 2. Оптимизация технической системы методом нелинейного программирования .....	17
Список рекомендованной литературы .....	26

## **ВВЕДЕНИЕ**

Настоящее руководство используется для проведения лабораторных работ. Оно является одновременно образцом для написания отчета о лабораторных работах, который должен быть составлен в соответствии с требованиями действующих стандартов и норм, регламентирующих оформление научно-технической документации на производстве. Журнал лабораторных работ должен быть выполнен в виде тетради, состоящей из листов писчей бумаги формата А4 (210 × 297 мм).

Перед началом выполнения лабораторной работы студент должен изучить раздел «Предварительные сведения» о лабораторной работе. Степень подготовленности каждого студента к выполнению работы (его допуск к лабораторной работе) оценивается преподавателем перед началом занятия путем опроса.

Лабораторные работы проводятся в кабинете компьютерных технологий кафедры «Локомотивы и локомотивное хозяйство». Индивидуальные задания выдаются каждому студенту перед началом проведения лабораторных работ.

## Лабораторная работа № 1

# МОДЕЛИРОВАНИЕ ИЗМЕНЕНИЯ ТЕХНИЧЕСКОГО СОСТОЯНИЯ ОБЪЕКТОВ ЭКСПЛУАТАЦИИ И ПРОГНОЗИРОВАНИЕ ИХ НАДЕЖНОСТИ

### Предварительные сведения

В настоящей лабораторной работе рассматриваются вопросы прогнозирования постепенных отказов.

К *постепенным отказам* можно отнести ухудшение технического состояния, связанное с накоплением качественных изменений (износ, старение, фазовые и структурные превращения), при этом техническое состояние ухудшается постепенно, а затем переходит в предотказное состояние. *Возможность прогнозирования постепенных отказов* облегчает переход на эксплуатацию изделия «по состоянию». В данной лабораторной работе рассматривается *инструментальный подход прогнозирования*, включающий измерение параметров и снятия характеристик, позволяющих оценить техническое состояние устройства. Такая оценка предусматривает сравнение с эталонным значением и позволяет предсказать возможность появления неисправности в эксплуатации до следующей проверки. Разработка новых методов инструментального прогнозирования и отыскание новых параметров, позволяющих прогнозировать появление неисправности — важнейшие задачи обеспечения высокой эксплуатационной надежности локомотивов. В лабораторной работе инструментальный подход реализуется за мерами геометрических характеристик изделия во времени и сравнении их с эталонным значением.

Пусть контролируемый параметр агрегата представляет собой функцию  $X(t)$ , которая в течение времени  $0 - T_A$  эксплуатации принимает в моменты контроля  $t_1, t_2, \dots, t_A$  значения  $x_1(t_1), x_2(t_2), \dots, x_A(t_A)$ . Смысл прогнозирования состоит в том, чтобы предсказать значения параметра  $x(t)$  для будущих моментов времени по известным значениям  $x_0, x_1, x_2, \dots, x_A$  в прошлом

(рис. 1.1). Это возможно при монотонном изменении параметра  $x(t)$ .

Определив значение функции  $x(t)$  на участке  $0 - t_A$  можно продлить кривую (прямую)  $x(t)$  до интересующего значения  $X_K$  для времени  $t > t_A$  на участке  $(t_A, t_K)$ . При этом предпочтительна линейная экстраполяция на относительно короткий участок времени  $(t_A, t_K)$ . Достаточно часто в рассматриваемом диапазоне можно принять линейное изменение функции  $x(t)$  и соответственно линейную экстраполяцию, что и делается в настоящей лабораторной работе. В общем случае значения  $x_1, x_2, \dots, x_A$  носят случайный характер с учетом отношений параметров и погрешностей замеров. Построение функции  $x(t)$  производится с использованием метода «наименьших квадратов», по которому уравнение прямой  $x(t)$  выбирается таким образом, что сумма квадратов отклонений текущих значений  $x_i$  от прямой  $x(t)$  будет наименьшей. Под прогнозированием отказов понимают научно-обоснованное предсказание моментов воз-

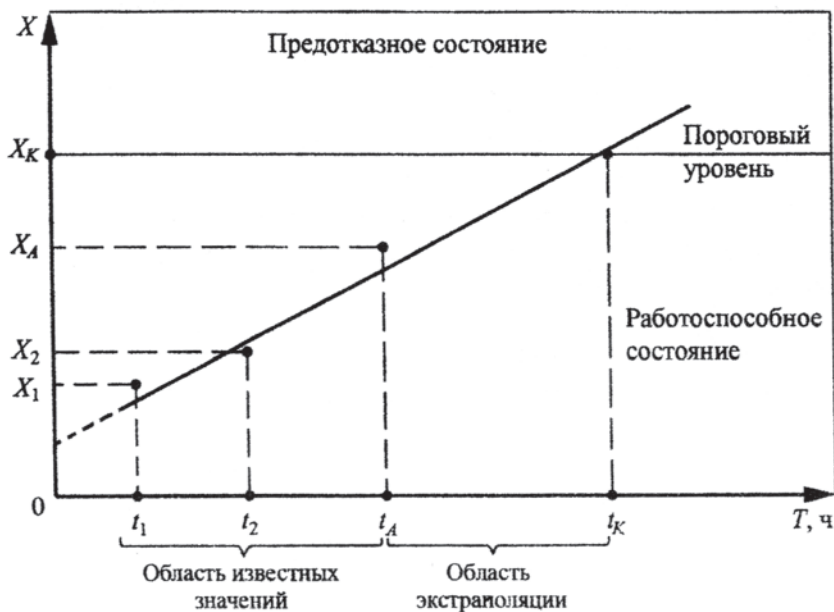


Рис. 1.1. Прогнозирование значений  $x(t)$

никновения отказов на основе данных проведенных испытаний, изменений или наблюдений.

### Математическая обработка данных замеров

Пусть имеется  $n$ -пар значений двух случайных величин  $X(x_1, x_2, \dots, x_n)$  и  $T(t_1, t_2, \dots, t_n)$ . Назовем *средней арифметической дисперсией* (или выборочной средней, или математическим ожиданием) величины  $X$  сумму

$$m_x = \frac{1}{n} \sum_{i=1}^n x_i, \quad (1)$$

и *выборочной дисперсией* величин  $X$  сумму

$$\sigma_x^2 = \frac{1}{n} \sum_{i=1}^n (x_i - m_x)^2 \quad (\text{при } n > 30), \quad (2')$$

или

$$\sigma_x^2 = \frac{1}{n-1} \sum_{i=1}^n (x_i - m_x)^2 \quad (\text{при } n \leq 30). \quad (2)$$

Зачастую количество данных  $n < 30$ , поэтому далее будем пользоваться формулой (2).

Аналогично определяется средняя арифметическая и выборочная дисперсия величины  $T$ :

$$m_t = \frac{1}{n} \sum_{i=1}^n t_i, \quad \sigma_t^2 = \frac{1}{n-1} \sum_{i=1}^n (t_i - m_t)^2. \quad (3)$$

*Ковариацией случайных величин  $X$  и  $T$*  называется сумма

$$\text{cov}(X, T) = \frac{1}{n} \sum_{i=1}^n (x_i - m_x)(t_i - m_t). \quad (4)$$

Формулы по расчету выборочной дисперсии и ковариации после преобразований приводятся к виду

$$\sigma_x^2 = \frac{1}{n-1} \sum_{i=1}^n x_i^2 - \frac{n}{n-1} m_x^2,$$

$$\sigma_t^2 = \frac{1}{n-1} \sum_{i=1}^n t_i^2 - \frac{n}{n-1} m_t^2, \quad (5)$$

$$\text{cov}(T, X) = \frac{1}{n} \sum_{i=1}^n x_i t_i - m_x m_t.$$

*Коэффициентом корреляции* двух случайных величин  $X$  и  $T$  называется величина

$$k = \frac{\text{cov}(X, T)}{\sigma_x \cdot \sigma_t}. \quad (6)$$

Допустим, в результате замеров, мы получим ряд значений величин  $X$  и  $T$ . Нам требуется определить наличие зависимости между ними, или степень их стохастической связи. Ее можно проиллюстрировать диаграммой рассеивания, которую строят следующим образом. На плоскости в системе координат  $ТОХ$  строят точки, координатами которых являются наблюдаемые значения случайных величин  $T$  и  $X$  (рис. 1.2). Точки на диаграмме рассеивания группируются вблизи некоторой прямой и чем ближе связь между наблюдаемыми случайными величинами, тем теснее точки лежат к прямой, чем слабее связь, тем больше разброс точек.

Некоторую информацию о характере связи случайных величин  $T$  и  $X$  дает *коэффициент корреляции*  $K$  (формула (6)). Значения коэффициента корреляции лежат между  $-1 \leq K \leq 1$ , и  $K = \pm 1$  лишь в случае, если все наблюдаемые значения  $T$  и  $X$  лежат на некоторой прямой в плоскости  $ТОХ$ . По мере приближения коэффициента  $K$  к величине  $\pm 1$  распределение имеет тенденцию концентрироваться вблизи некоторой прямой, что можно считать мерой близости к линейной зависимости между  $T$  и  $X$ . Если  $K = 0$ , то говорят, что  $T$  и  $X$  не коррелированы, в частности это, будет тогда, когда величины независимы.



Прямая, вокруг которой наиболее плотно концентрируются точки  $(t_i, x_i)$  эксперимента, называется *прямой регрессии*. Уравнение ее имеет вид

$$\tilde{X} = a + bT. \quad (7)$$

Коэффициенты  $a$  и  $b$  получают по методу наименьших квадратов

$$b = \frac{\text{cov}(T, x)}{\sigma_t^2}, \quad a = m_x - bm_t. \quad (8)$$

При этом сумма квадратов отклонений величины  $\tilde{X}$ , рассчитанных по формуле (7) от экспериментальных  $X$  будет наименьшей.

Коэффициент  $b$  при  $T$  в уравнении регрессии (или тангенс угла наклона этой прямой к оси  $OT$ ) называется *коэффициентом регрессии переменной  $X$  по  $T$* ,  $r_{x/T}$

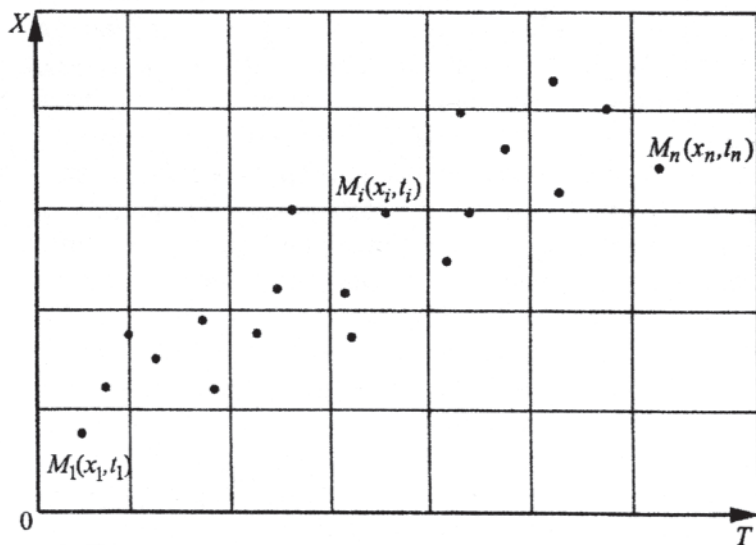


Рис. 1.2. Диаграмма рассеивания, иллюстрирующая наличие связи между величинами  $X$  и  $T$

Можно установить из формул (8) и (6) его связь с коэффициентом корреляции:

$$r_{x/T} = b = k \cdot \frac{\sigma_x}{\sigma_t}. \quad (9)$$

Поскольку при малом количестве значений  $T$  и  $X$  (при малой выборке) мы можем лишь приближенно судить о коэффициентах регрессии и корреляции, то необходимо определить интервалы, в которых они могут находиться. Представление о точности вычисленного значения  $\tilde{X}$  по сравнению с действительным  $X$  дает понятие доверительного интервала.

Пусть для каждого достаточно малого  $\alpha > 0$  можно указать такое  $\sigma > 0$ , у которого вероятность того, что рассматриваемая величина  $X$  попадает в интервал  $\tilde{X} - \sigma < X < \tilde{X} + \sigma$  или  $(|X - \tilde{X}| < \sigma)$  будет равна  $1 - \alpha$ :

$$P(|X - \tilde{X}| < \sigma) = P(\tilde{X} - \sigma < X < \tilde{X} + \sigma) = 1 - \alpha. \quad (10)$$

Чем меньше для данного  $\alpha$  будет  $\sigma$ , тем точнее оценка  $\tilde{X}$ . Интервал  $(\tilde{X} - \sigma, \tilde{X} + \sigma)$  называют *доверительным интервалом*, отвечающим доверительной вероятности  $1 - \alpha$  (или доверительным интервалом с  $\alpha \cdot 100\%$  уровнем).

Если условиться, что случайные величины  $T$  и  $X$  распределены по закону, близкому к нормальному, то доверительные интервалы с  $q\%$ -м уровнем для эмпирических коэффициентов корреляции и регрессии будут следующими

$$\tilde{k} - t_q \frac{1 - \tilde{k}^2}{\sqrt{n}} < k < \tilde{k} + t_q \frac{1 - \tilde{k}^2}{\sqrt{n}}, \quad (11)$$

$$\tilde{r} - t_q \frac{\sigma_x}{\sigma_t} \frac{1 - \tilde{k}^2}{\sqrt{n}} < r < \tilde{r} + t_q \frac{\sigma_x}{\sigma_t} \frac{1 - \tilde{k}^2}{\sqrt{n}}, \quad (12)$$

где  $\tilde{k}$ ,  $\tilde{r}$  — соответственно значения коэффициентов корреляции и регрессии, рассчитанных по формулам (6) и (9);

- $n$  — количество наблюдаемых пар значений  $(t_i, x_i)$ ;  
 $t_q$  — значение аргумента функции Лапласа [1], соответствующего вероятности  $p = 1 - \frac{q}{100}$ .

### Порядок выполнения работы

1. Изучить конструкцию колесной пары и технологию ее технического обслуживания.
2. Провести анализ неисправностей и отказов колесных пар и причин их возникновения.
3. Из тетради техника по замерам выбрать данные по замерам износа одной колесной пары.  
 Данные замеров свести в табл. 1.1.

Таблица 1.1

#### Износ поверхности катания колесной пары тепловоза

Пробег, тыс. км		5	10	15	20	25	30	35	40	45	50
Износ поверхности катания, мм	Левое колесо										
	Правое колесо										

4. Провести математическую обработку полученных результатов с построением прямой приближенной регрессии.
5. Проанализировать полученные результаты и провести линейную экстраполяцию регрессии с определением пробега при котором наступает предотказное состояние.

### Пример расчета

Измеряют износ детали  $X$  (мм) в зависимости от времени ее работы  $T$  (тыс. ч). Деталь снимают с эксплуатации, если ее износ достигает, например 1,5 мм. Обработать данные замеров, построить прямую регрессии и определить время работы детали до снятия с эксплуатации, а также доверительный интервал для этого времени с 20%-м уровнем.

Данные замеров и последующие расчеты сводятся в табл. 1.2.

Таблица 1.2

## Вспомогательная таблица для расчетов коэффициентов регрессии

$N$	1	2	3	4	5	6	7	8	9	10	$\Sigma$
$T$	3,3	3,4	4,3	5,4	6,7	8,7	10,6	11,2	11,5	12,8	77,2
$X$	0,44	0,45	0,58	0,68	0,81	1,05	1,27	1,31	1,42	1,58	9,59
$T^2$	10,89	11,56	18,49	29,16	44,89	75,69	112,3	125,4	132,2	146,4	707,1
$X^2$	0,1936	0,2025	0,3364	0,4624	0,6561	1,1025	1,6129	1,7161	2,0164	2,4964	10,79
$T \cdot X$	1,452	1,53	2,494	3,672	5,427	9,135	13,462	14,672	16,33	19,12	87,3

Характеристики распределения вычисляют следующим образом.

1. Суммируют данные второй строки таблицы и делят на  $n$  (в нашем случае  $n = 10$ ), получают  $m_t = \frac{77,12}{10} = 7,72$ .

2. Суммируют данные третьей строки таблицы и делят на  $n$ , получают  $m_x = 0,959$ .

3. Суммируют данные четвертой строки, делят на  $(n - 1)$  и отнимают от результата  $\frac{n}{n-1}m_t^2$ , получают (см. формулы (5))

$$\sigma_t^2 = \frac{707,1}{9} - \frac{10}{9}(7,72)^2 = 12,35.$$

4. Суммируют данные пятой строки, делят на  $(n - 1)$  и отнимают  $\frac{n}{n-1}m_x^2$ , получают  $\sigma_x^2 = 0,1776$ .

5. Суммируют данные шестой строки, делят на  $n$  и отнимают  $m_x \cdot m_t$ , получают  $\text{cov}(X, T) = 1,326$ .

6. Вычисляют

$$\begin{aligned}\sigma_t &= \sqrt{12,35} = 3,514, \\ \sigma_x &= \sqrt{0,1776} = 0,4214, \\ \tilde{\kappa} &= 0,895,\end{aligned}$$

$$\begin{aligned}\tilde{r} &= \tilde{\kappa} \cdot \frac{\sigma_x}{\sigma_t} = 0,1074, \\ a &= m_x - \tilde{r} \cdot m_t = 0,1302.\end{aligned}$$

Окончательно уравнение регрессии имеет вид

$$\tilde{X} = 0,1302 + 0,1074T. \quad (13)$$

Подсчитаем доверительные интервалы для коэффициентов корреляции и регрессии с 20%-м уровнем (см. формулы (11), (12)). По таблице значений функции Лапласа найдем, что для

$$p = 1 - \frac{20}{100} = 0,8, \quad t_q = 1,28. \quad \text{Следовательно}$$

$$\begin{aligned}0,895 - 1,28 \cdot \frac{1 - (0,895)^2}{\sqrt{10}} < \kappa < 0,895 + 1,28 \cdot \frac{1 - (0,895)^2}{\sqrt{10}}, \\ 0,1074 - \frac{0,4214}{3,514} \cdot 0,0819 < r < 0,1074 + \frac{0,4214}{3,514} \cdot 0,0819\end{aligned}$$

или

$$\begin{aligned}0,8137 < \kappa < 0,9763, \\ 0,09776 < r < 0,11704.\end{aligned}$$

Поскольку коэффициент корреляции близок к 1, то можно говорить о достаточно близкой к линейной зависимости между случайными величинами  $T$  и  $X$ . Это можно увидеть на графике (рис. 1.3). Коэффициент регрессии  $r > 0$  поэтому с увеличением  $T$  случайная величина  $X$  растет. Если с увеличением  $T$   $X$  уменьшается, то  $r < 0$ . По построенной прямой можно прогнозировать значения случайной величины  $X$  и за пределами данного интервала изменения величины  $T$ , то есть при  $T > 12,1$  или  $T < 3,3$ .

Для этого нужно определить доверительные интервалы для каждого значения величины  $X$ , соответствующей данному  $T$ .

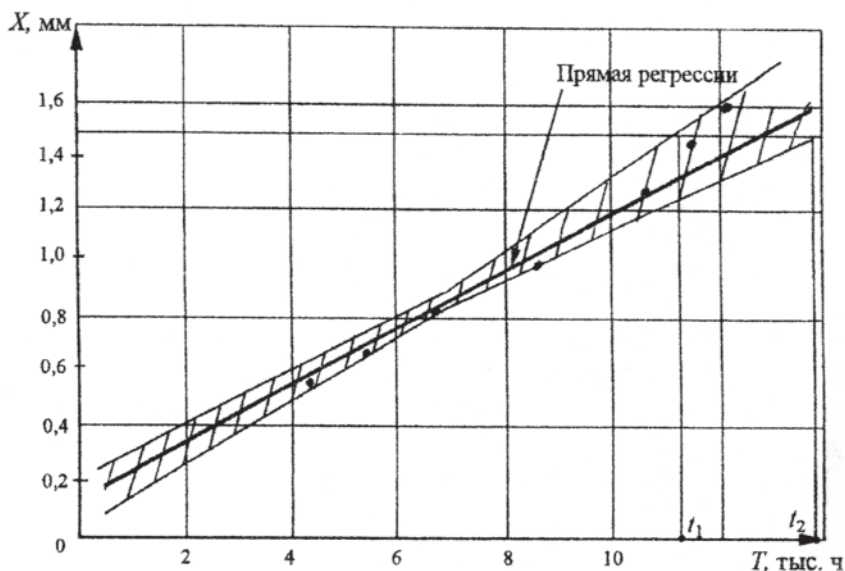


Рис. 1.3. График прямой регрессии и доверительной области для данных табл. 1.2

При нормальном законе распределения их можно оценить следующей формулой

$$\bar{X} - t_q \cdot S \cdot Q < X < \bar{X} + t_q \cdot S \cdot Q, \quad (14)$$

где

$$S = \frac{1}{n-1} \sum_{i=1}^n (X_i - \bar{X}_i)^2,$$

$$Q = \sqrt{\frac{1}{n} + \frac{(t - m_i)^2}{(n-1)\sigma_i^2}},$$

здесь  $X_i, \bar{X}_i$  — наблюдаемые и вычисленные по формуле (13) значения случайной величины  $X$ ;

$t_q$  — аргумент функции Лапласа для доверительного интервала с  $q$ -м % уровнем.

Из формулы (14) видно, что чем дальше удалена случайная величина  $T$  от ее математического ожидания  $m_t$ , тем больше будет доверительный интервал для оценки  $X$ , т.е. тем значительнее снижается точность результатов расчета. Наименее надежная оценка по прямой регрессии будет получаться для ординат с абсциссами, наиболее удаленными от среднего значения  $m_t$ . Поэтому найденную прямую возможно использовать для экстраполяции за пределами того промежутка, внутри которого помещаются наблюдаемые значения, лишь соблюдая большую осторожность. Рассчитав доверительные интервалы для случайной величины  $X$  (по формуле (14)) для ближайших к  $m_t$  значений  $t = 6,7$  и  $t = 8,7$  и для наиболее удаленных  $t = 3,3$  и  $t = 12,1$  и построив полученные значения на рис. 1.3, получим полосу, в которой с доверительной вероятностью  $p = 0,8$  будут лежать значения случайной величины  $X$ . Эта полоса на рис. 1.3 заштрихована.

Проведя прямую, параллельную оси  $OT$  через  $X = 1,5$  на графике (см. рис. 1.3), получим, что искомый интервал времени до снятия детали с эксплуатации  $11,65 < T < 13,6$ .

Для выполнения расчетов все вычисления удобно свести в табл. 1.3.

Таблица 1.3

Таблица вспомогательных расчетов

№ п/п	$t_i$	$X_i$	$t_i^2$	$X_i^2$	$X_i t_i$	$\bar{X}_i$	$X_i - \bar{X}_i$	$(X_i - \bar{X}_i)^2$
1	$t_1$	$X_1$						
2	$t_2$	$X_2$						
...								
$n$	$t_n$	$X_n$						
$\sum_{i=1}^n$								

### Содержание отчета

После выполнения работы составить отчет, который должен содержать.

1. Наименование работы и цель работы.

2. Краткое описание сущности инструментального метода прогнозирования.

3. Особенности технического обслуживания колесных пар локомотивов; анализ причин возникновения неисправностей и отказов.

4. Результаты замеров износа поверхности катания колесной пары.

5. Результаты математической обработки данных замеров износа поверхности катания.

6. График прямой регрессии и доверительной области с определением пробега при котором достигается предотказное состояние.

7. Выводы.

### **Контрольные вопросы**

1. В чем состоит инструментальный метод прогнозирования?

2. Что такое корреляция и коэффициент корреляции двух случайных величин?

3. В чем физическая сущность процесса ухудшения технического состояния исследуемого образца?



## Лабораторная работа № 2

# ОПТИМИЗАЦИЯ ТЕХНИЧЕСКОЙ СИСТЕМЫ МЕТОДОМ НЕЛИНЕЙНОГО ПРОГРАММИРОВАНИЯ

### Предварительные сведения

Задачи принятия оптимальных решений в управлении, при проектировании ТС и их эксплуатации, в современных технологиях занимают ключевое место. *Оптимальное решение* — это наилучшее. Но решение наилучшим во всех смыслах быть не может. Оно может быть наилучшим только в одном, строго установленном смысле. Принимающий решение должен точно представлять, в чем заключается оптимальность решения, т.е. по какому критерию (*kriterion* — греч. — мерило), принимаемое решение должно быть наилучшим. Такой критерий называют *целевой функцией*. В общем случае с помощью целевой функции можно оценивать качества как желательные (прибыль, производительность, мощность и т.п.), так и нежелательные (затрата, расход материалов, простой оборудования и т.п.). Тогда очевидно в первом случае нужно стремиться к *максимизации критерия*, а во втором — к его *минимизации*. Задача может иметь оптимальное решение, если она удовлетворяет двум требованиям:

- есть возможность иметь более одного решения, т.е. существуют **допустимые решения**;
- имеется критерий, показывающий в каком смысле принимаемое решение должно быть оптимальным.

Процесс принятия решений может быть неформализованным или формализованным.

*Принятие неформализованных решений* — это творчество, искусство при котором доказательство носит интуитивный характер.

*Реализация методов формализованных решений* происходит по четким правилам и рекомендациям.

Принятие формализованных решений базируется на двух основных методах:

- логическое моделирование (нами не рассматривается)
- оптимизация.

В свою очередь *процесс оптимизации* обычно содержит три этапа:

- исходные данные.
- составление математической модели;
- решение задачи;

При составлении *математической модели* необходимо придерживаться трех правил:

- учитывать главные свойства моделируемого объекта;
- пренебрегать второстепенными свойствами объекта;
- отделять главные свойства от второстепенных.

Не всегда легко отделить главное от второстепенного и составить приемлемую модель. Составление модели — это искусство. Для этого требуются соответствующие знания и творческие способности.

Если модель описывает зависимость между исходными данными, то *алгоритм* представляет собой последовательность действий, которые необходимо выполнить, чтобы от исходных данных перейти к искомым величинам. Можно считать, что алгоритм это метод решения. Часто алгоритм задач принятия решений настолько сложен, что без применения компьютера, реализовать его практически невозможно.

*Исходные данные* должны быть достоверными. Здесь уместна поговорка — «Что посеешь, то и пожнешь». Т.е. никакая хорошая сходимость алгоритма или возможность средств вычислительной техники, не заменят достоверности исходных данных.

В настоящее время разработан ряд методов оптимизации, которые применяются в зависимости от характера целевой функции и особенностей решаемой задачи, методы оптимизации:

- линейное программирование;
- нелинейное программирование;

- целочисленное программирование;
- стохастическое программирование;
- методы многокритериальной оптимизации.

Рассмотрим общий случай задачи оптимизации. Для этого следует остановиться на базовых понятиях.

1. *Целевая функция* или критерий оптимизации. Возможны три вида назначения целевой функции

*Максимизация критерия*

$$F = f(x_1, x_2, \dots, x_m) \rightarrow \max, \quad (2.1)$$

где  $x_1, x_2, \dots, x_m$  — искомые переменные, определяющие целевую функцию.

*Минимизация критерия*

$$F = f(x_1, x_2, \dots, x_m) \rightarrow \min. \quad (2.2)$$

**Назначение заданного значения**

$$F = f(x_1, x_2, \dots, x_m) = F_{\text{зад}}, \quad (2.3)$$

где  $F_{\text{зад}}$  — значение целевой функции, которое необходимо получить.

2. *Ограничения* устанавливают зависимость между переменными.

$$\begin{aligned} q_1(x_1, x_2, \dots, x_m) &\geq 0; \\ q_2(x_1, x_2, \dots, x_m) &\geq 0; \\ &\dots \dots \dots \\ q_n(x_1, x_2, \dots, x_m) &\geq 0; \\ &\dots \dots \dots \\ h_1(x_1, x_2, \dots, x_m) &= 0; \\ h_2(x_1, x_2, \dots, x_m) &= 0; \\ &\dots \dots \dots \\ h_x(x_1, x_2, \dots, x_m) &= 0. \end{aligned} \quad (2.4)$$

Ограничения могут быть односторонними  $q_i(x_j) \leq 0$  или двусторонними  $a_i \leq q_i(x_j) \leq b_i$ .

3. *Граничные условия* показывают в каких пределах могут быть значения искоемых переменных в оптимальном решении:

$$x'_1 \leq x_1 \leq x''_1; x'_2 \leq x_2 \leq x''_2; \dots; x'_m \leq x_m \leq x''_m.$$

Решение задачи, удовлетворяющее всем ограничениям и граничным условиям является *допустимым*.

4. *Размерность задачи* оптимизации определяется числом переменных ( $m$ ) и числом ограничений ( $n$ ). Возможны три соотношения

$$n < m; n = m; n > m.$$

Опуская доказательство, отметим, что непременным требованием для задач оптимизации является ( $m > n$ ).

Очевидно задачей оптимизации будет являться выбор только одного решения по определенному критерию. В общем случае постановка задачи оптимизации может быть записана так:

Цел. Ф	$F = f(x_j) \rightarrow \max (\min, \text{const}).$	}	(2.5)
	$q_1(x_j) \leq (= \geq i) b_1$		
	.....		
Ограничения.	$q_n(x_j) \leq (= ; \geq) b_n$		
Гр.условия.	$x'_j \leq x_j \leq x''_j, i = 1, n; j = 1, m$		

Систему (2.5) принято записывать более компактно

$F = f(x_j) \rightarrow \max (\min, \text{const}).$	}	(2.6)
$q_i(x_j) \leq b_i$		
$x'_j \leq x_j \leq x''_j$		
$i = 1, n; j = 1, m$		

### Решение задачи методом нелинейного программирования

Максимум и минимум функции объединяются понятием *экстремум*. Согласно определению признака экстремума функция  $f(x)$  имеет максимум (минимум) в точке  $x^*$ , если в достаточ-

ной близости от этой точки всем значениям  $x$  соответствуют значения  $f(x)$  меньше (больше), чем  $f(x^*)$ . Для случая максимума это показано на рис. 2.1, а. Максимум и минимум функции может быть как *локальным*, так и *глобальным*. На рис. 2.1, б функция  $f(x)$  принимает максимальные значения в вершинах  $B$  и  $D$ . При этом  $f(x_B) > f(x_D)$ . В таком случае говорят, что в точке  $B$  имеется глобальный максимум, а в точке  $D$  — локальный. Аналогичные рассуждения относятся к минимумам в точках  $A, C, E$ .

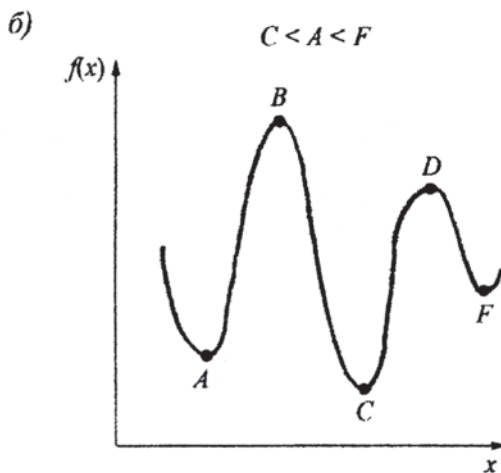
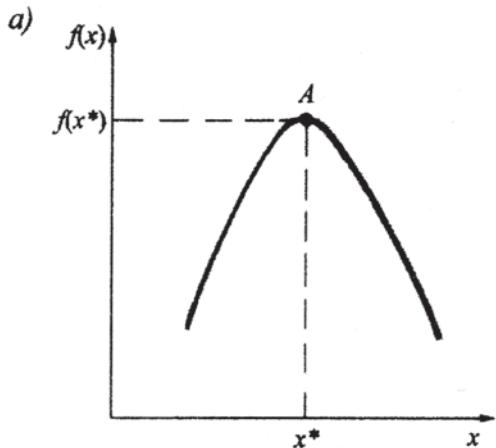


Рис. 2.1. Экстремумы функции  $f(x)$

При введении граничных условий типа  $x \leq b$  показанных на рис. 2.2 наибольшее значение функции находится на границе в точке  $x = b$ . В таких случаях говорят, что в точке  $x = b$  находится оптимум функции  $f(b) = B$ .

*Оптимум более широкое понятие, чем экстремум.* Если экстремум есть не у всех функций, то в практических задачах оптимум, как правило, есть всегда. Также как и экстремумы, оптимумы могут быть локальными и глобальными. Будем рассматривать нахождение только локального оптимума.

Задачи нелинейной оптимизации с точки зрения методов решения делятся на два класса:

- задачи безусловной оптимизации;
- задачи условной оптимизации (в общем случае имеет вид (2.5)).

Остановимся на решении задачи условной оптимизации. Есть целый ряд методов решения таких задач.

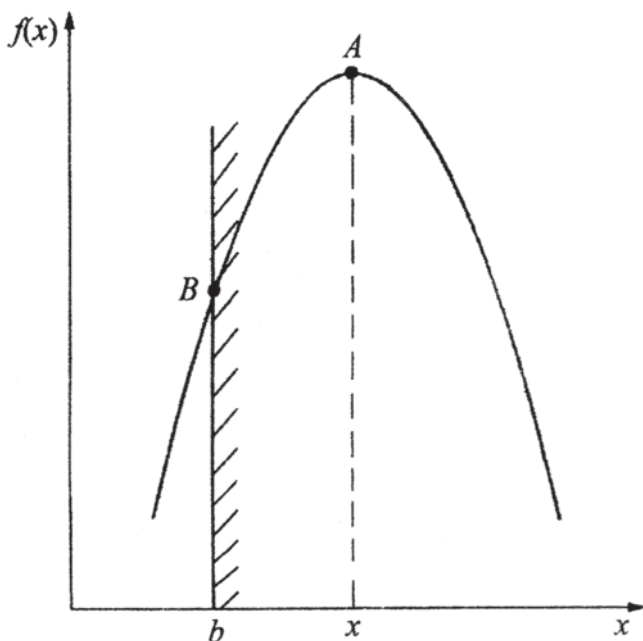


Рис. 2.2. Максимум функции  $f(x) = B$  при граничных условиях  $x \leq b$

## Порядок выполнения работы

Рассмотрим метод решения задачи на конкретном примере.

**Пример.** Требуется определить размеры бака, имеющего форму параллелепипеда (рис. 2.3). При этом, размеры бака  $a$ ,  $b$ ,  $h$  должны быть такими, чтобы объем его  $V$  был максимальным, а стоимость материала не должна превышать заданную величину  $C_{\text{зад}}$ . Осуществить параметрический анализ, построив графики, показывающие зависимости между размерами бака, его объемом и стоимостью. Стоимость единицы площади материала принять  $\kappa = 10 \cdot 10^3$  руб./м<sup>2</sup>, а бака  $C_{\text{зад}} = 100 \cdot 10^3$  руб.

### Решение

1. Определим основные параметры технической системы.

Объем бака  $V = a b h$ .

Полная поверхность  $S = 2(ab) + 2(a + b)h = 2(ab + (a + b)h)$ .

Стоимость материала  $C = \kappa S = 2\kappa (ab + (a + b)h)$ .

2. Сформулируем задачу оптимизации в виде системы (2.6).

Цел.ф.

Ограничения

Гр. условия

$$V = a b h \rightarrow \max$$

$$2\kappa (ab + (a + b)h) \leq C_{\text{зад}}$$

$$a, b, h > 0$$

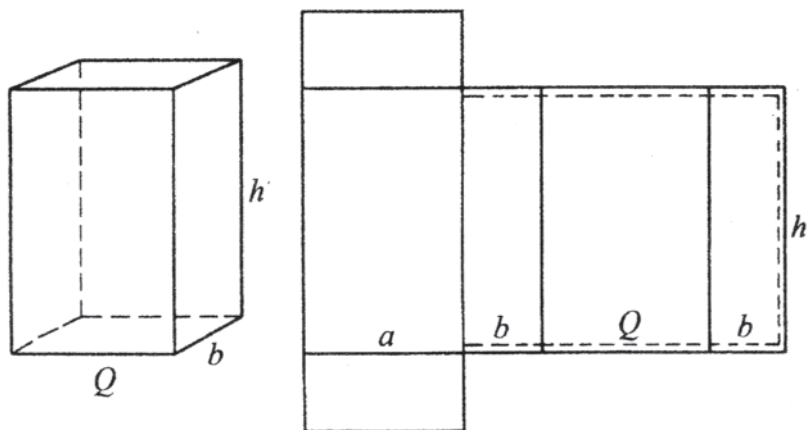


Рис. 2.3. Размеры бака, имеющего форму параллелепипеда и его выкройка

С учетом исходных данных:

$$\left. \begin{aligned} V &= a b h \rightarrow \max \\ 20(ab + (a + b) h) &\leq 100 \\ a, b, h &> 0 \end{aligned} \right\} \quad (2.7)$$

3. С помощью частных производных найдем стационарные точки, где возможен экстремум целевой функции (где частные производные обращены в ноль).

$$\left. \begin{aligned} \frac{\partial V}{\partial a} &= bh = 0 \\ \frac{\partial V}{\partial b} &= ah = 0 \\ \frac{\partial V}{\partial h} &= ab = 0 \end{aligned} \right\}$$

Соответственно  $bh = ah = ab$  или  $a = b = h$ . Из чего следует, что емкость должна иметь форму куба. Тогда можно записать, что емкость бака равна  $V = a^3$ .

4. Из уравнения ограничений системы (2.7) можно определить значение стороны бака

$$20 \cdot 10^3 (ab + (a + b) h) \leq 100 \cdot 10^3$$

или

$$20 \cdot 10^3 (a^2 + 2a^2) = 100 \cdot 10^3,$$

откуда

$$a = 1,29 \text{ м и } V_{\max} = 2,15 \text{ м}^3.$$

5. Для проведения параметрического анализа зададимся несколькими произвольными значениями  $C_{\text{доп}}$ , и определим, как при изменении стоимости технической системы могут меняться ее параметры  $a$  и  $V_{\max}$ .

Примем  $C_{\text{доп}} = 200 \cdot 10^3; 300 \cdot 10^3; 400 \cdot 10^3$  и  $500 \cdot 10^3$  руб.

Результаты расчетов даны в табл. 2.1.



Таблица 2.1

$C_{\text{доп}} \cdot 10^3$ , руб.	100	200	300	400	500
$a$ , м	1,29	1,83	2,24	2,58	2,89
$V_{\text{max}}$ , м <sup>3</sup>	2,15	6,1	11,12	17,2	24,08

6. Построим графики зависимостей  $a(C_{\text{доп}})$  и  $V(C_{\text{доп}})$ .

### Вывод

Из графиков, представленных на рис. 2.4 можно получить ценную информацию при принятии оптимальных решений, увязывая геометрические размеры, максимальный объем и допустимую стоимость (по материалу) проектируемой ТС (емкости).

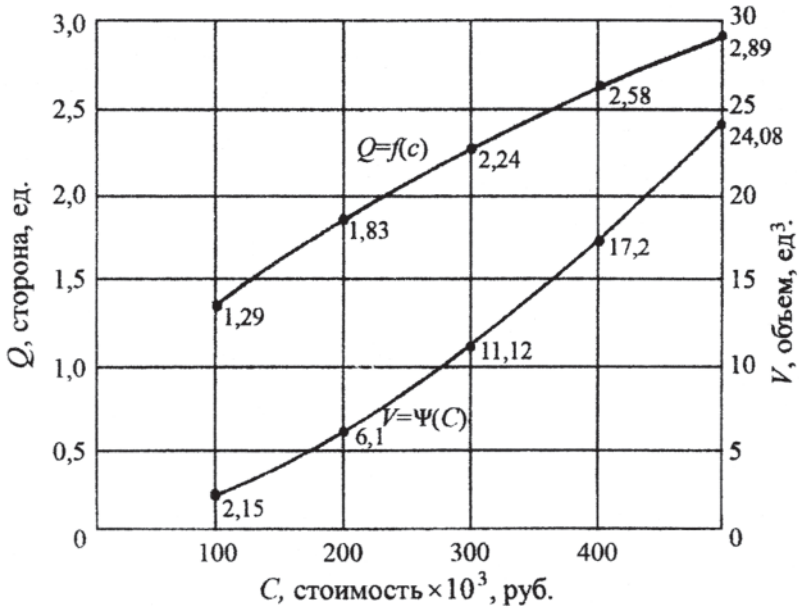


Рис. 2.4. Параметрирование по стоимости материала бака

## **СПИСОК РЕКОМЕНДУЕМОЙ ЛИТЕРАТУРЫ**

1. Смирнов Н.В., Дунин-Барковский И.В. Курс теории вероятностей и математическая статистика. — М.: Наука, 1965. — 511 с.
2. Митропольский А.К. Техника статистических вычислений. — М.: Физматгиз, 1961. — 235 с.
3. Грешников Г.Г. Как принять наилучшее решение в реальных условиях. — М.: Радио и связь, 1981. — 224 с.
4. Курицкий Б.Я. Поиск оптимальных решений средствами Excel 7.0. — СПб.: ВHV—Санкт-Петербург, 1997.— 384 с.

# ОСНОВЫ ИНЖЕНЕРНОЙ И НАУЧНОЙ РАБОТЫ

Руководство к выполнению лабораторных работ

Редактор *Д.Н. Тихонычев*  
Компьютерная верстка *Е.Ю. Русалева*

---

Тип. зак.	<i>420</i>	Изд. зак. 297	Тираж 200 экз.
Подписано в печать 02.06.05		Гарнитура Times.	Офсет
Усл. печ. л. 1,75	<i>2002017144</i>		Формат 60x90 <sup>1</sup> / <sub>16</sub>

---

Издательский центр РГОТУПСа,  
125993, Москва, Часовая ул., 22/2

Участок оперативной печати РГОТУПСа,  
125993, Москва, Часовая ул., 22/2